

# 第 5 章

## 快速傅里叶变换

### 5.1 概 述

离散傅里叶变换(DFT)和卷积是信号处理中两个最基本也是最常用的运算,它们涉及信号与系统的分析与综合这一广泛的信号处理领域。由第 3 章可知,卷积可化为 DFT 来实现,实际上其他许多算法,如相关、滤波、谱估计等也都可化为 DFT 来实现。当然,DFT 也可化为卷积来实现。由后面的讨论可知,它们之间有着互通的关系。

对  $N$  点序列  $x(n)$ ,其 DFT 变换对定义为

$$\begin{cases} X(k) = \sum_{n=0}^{N-1} x(n)W_N^{nk}, & k=0,1,\dots,N-1, \quad W_N = e^{-j\frac{2\pi}{N}} \\ x(n) = \frac{1}{N} \sum_{k=0}^{N-1} X(k)W_N^{-nk}, & n=0,1,\dots,N-1 \end{cases} \quad (5.1.1)$$

显然,求出  $N$  点  $X(k)$  需要  $N^2$  次复数乘法及  $N(N-1)$  次复数加法。众所周知,实现一次复数乘需要四次实数乘两次实数加,实现一次复数加则需要两次实数加。当  $N$  很大时,其计算量是相当可观的。例如,若  $N=1024$ ,则需要 1 048 576 次复数乘法,即 4 194 304 次实数乘法。所需时间过长,难于“实时”实现。对于 2-D 图像处理,所需计算量更是大得惊人。

其实,在 DFT 运算中包含大量的重复运算。观察式(3.5.12)的  $W$  矩阵,虽然其中有  $N^2$  个元素,但由于  $W_N$  的周期性,其中只有  $N$  个独立的值,即  $W_N^0, W_N^1, \dots, W_N^{N-1}$ ,且在这  $N$  个值中有一部分取极简单的值。简而言之, $W_N$  因子的取值有如下特点:

- ①  $W^0 = 1, W^{N/2} = -1$ ;
- ②  $W_N^{N+r} = W_N^r, W^{N/2+r} = -W^r$ 。

例如,对 4 点 DFT,按式(5.1.1)直接计算需  $4^2 = 16$  次复数乘,按上述周期性及对称性,可写成如下矩阵形式:

$$\begin{bmatrix} X(0) \\ X(1) \\ X(2) \\ X(3) \end{bmatrix} = \begin{bmatrix} 1 & 1 & 1 & 1 \\ 1 & W^1 & -1 & -W^1 \\ 1 & -1 & 1 & -1 \\ 1 & -W^1 & -1 & W^1 \end{bmatrix} \begin{bmatrix} x(0) \\ x(1) \\ x(2) \\ x(3) \end{bmatrix}$$

将该矩阵的第二列和第三列交换,得

$$\begin{bmatrix} X(0) \\ X(1) \\ X(2) \\ X(3) \end{bmatrix} = \begin{bmatrix} 1 & 1 & 1 & 1 \\ 1 & -1 & W^1 & -W^1 \\ 1 & 1 & -1 & -1 \\ 1 & -1 & -W^1 & W^1 \end{bmatrix} \begin{bmatrix} x(0) \\ x(2) \\ x(1) \\ x(3) \end{bmatrix}$$

由此得出

$$\left. \begin{aligned} X(0) &= [x(0) + x(2)] + [x(1) + x(3)] \\ X(1) &= [x(0) - x(2)] + [x(1) - x(3)]W^1 \\ X(2) &= [x(0) + x(2)] - [x(1) + x(3)] \\ X(3) &= [x(0) - x(2)] - [x(1) - x(3)]W^1 \end{aligned} \right\} \quad (5.1.2)$$

这样,求出 4 点 DFT 实际上只需要一次复数乘法。问题的关键是如何巧妙地利用  $W$  因子的周期性及对称性,导出一个高效的快速算法。这一算法最早由 J. W. Cooley 和 J. W. Tukey 于 1965 年提出<sup>[Coo65]</sup>。

Cooley 和 Tukey 提出的快速傅里叶变换算法(fast Fourier transform, FFT)使  $N$  点 DFT 的乘法计算量由  $N^2$  次降为  $\frac{N}{2} \log_2 N$  次。仍以  $N=1024$  为例,计算量降为 5120 次,仅为原来的 4.88%。因此人们公认这一重要发现是数字信号处理发展史上的一个转折点,也可以称为一个里程碑。以此为契机,加之超大规模集成电路(VLSI)和计算机的飞速发展,使得数字信号处理的理论在过去的近 60 年中获得了飞速的发展,并广泛应用于众多的技术领域,显示了这一学科的巨大生命力。

自 Cooley-Tukey 算法提出之后,新的算法不断涌现,总的来说,快速傅里叶变换的发展方向有两个,一是针对  $N$  等于 2 的整数次幂的算法,如基 2 算法、基 4 算法、实因子算法和分裂基算法等,另一个是  $N$  不等于 2 的整数次幂的算法,它是以 Winograd 为代表的一类算法(素因子算法、Winograd 算法)。

可以证明,式(5.1.2)的 4 点 DFT 可以不用乘法而只用加法来实现,因此基 4 算法比基 2 算法更有效。1984 年提出的分裂基(split-radix)算法<sup>[Duh86]</sup>同时使用基 2 和基 4 算法,被认为是目前对  $N$  等于 2 的整数次幂中各类算法中最为理想的一种。

Winograd 算法(WFTA)和上述算法在理论上有着根本的差别,它是建立在下标映射和数论上的一套完全新颖的算法<sup>[Win76]</sup>。在实际应用上,所需乘法次数比 Cooley-Tukey 算法有了明显的减少,因此被认为是对 FFT 算法的一大贡献。但 WFTA 理论上比较复

杂,编程也比较困难,数据的长度受到较大的限制,在程序中,数据所占的内存及数据的传递次数也比 Cooley-Tukey 算法增加很多。随着计算机技术的发展,当执行一个乘法指令和执行一个加法指令所需的时间不是相差很多,而且数据的传递时间相对于运算时间也不能忽略不计时,WFTA 是否还具有突出的优点已经受到人们的质疑。但是,WFTA 的思路及理论价值,特别是与之有关的一套计算复杂性理论<sup>[Aus84]</sup>,对研究和学习 FFT 这一课题的读者来说,都是应该了解的。

以上对自 1965 年后 FFT 的发展做了简要的概述,有兴趣的读者可参看文献 [Duh90a],该文较好地讨论了这一问题。在这近 50 年发展的过程中,人们对 FFT 及 DFT 的历史渊源也发生了兴趣。这些年的研究成果发现,FFT 算法的历史可追溯到 200 多年之前德国数学家高斯的工作。在这 200 多年的历程中,DFT 及 FFT 经历了一个漫长而又有趣的过程,与之相关联的论文就有 2400 余篇<sup>[Hei84]</sup>。

本章重点讨论 DFT 的基 2 算法、分裂基算法和使频域细化的 CZT 算法,并简要讨论频域只取少数点的 Goertzel 算法。限于篇幅,在输入端或输出端仅取少数点的另一种算法,即 Pruning 算法和 Winograd 算法,本书不再讨论,其简要介绍可参看文献[Hgs03]。

## 5.2 时间抽取(DIT)基2 FFT 算法

### 5.2.1 算法的推导

对式(5.1.1),令  $N=2^M$ ,  $M$  为正整数,可将  $x(n)$  按奇、偶分成两组,即令  $n=2r$  及  $n=2r+1$ ,而  $r=0,1,\dots,N/2-1$ ,于是

$$\begin{aligned} X(k) &= \sum_{r=0}^{N/2-1} x(2r)W_N^{2rk} + \sum_{r=0}^{N/2-1} x(2r+1)W_N^{(2r+1)k} \\ &= \sum_{r=0}^{N/2-1} x(2r)W_{N/2}^{rk} + W_N^k \sum_{r=0}^{N/2-1} x(2r+1)W_{N/2}^{rk} \end{aligned} \quad (5.2.1)$$

式中

$$W_{N/2} = e^{-j\frac{2\pi}{N/2}} = e^{-j4\pi/N}$$

令

$$A(k) = \sum_{r=0}^{N/2-1} x(2r)W_{N/2}^{rk}, \quad k = 0, 1, \dots, N/2 - 1 \quad (5.2.2a)$$

$$B(k) = \sum_{r=0}^{N/2-1} x(2r+1)W_{N/2}^{rk}, \quad k = 0, 1, \dots, N/2 - 1 \quad (5.2.2b)$$

那么

$$X(k) = A(k) + W_N^k B(k), \quad k = 0, 1, \dots, N/2 - 1 \quad (5.2.3a)$$

$A(k)$ 、 $B(k)$  都是  $N/2$  点的 DFT,  $X(k)$  是  $N$  点 DFT, 因此单用式(5.2.3a) 表示  $X(k)$  并不完全。但因

$$X(k + N/2) = A(k) - W_N^k B(k), \quad k = 0, 1, \dots, N/2 - 1 \quad (5.2.3b)$$

所以用  $A(k)$ 、 $B(k)$  可完整地表示  $X(k)$ 。  $N = 8$  时,  $A(k)$ 、 $B(k)$  及  $X(k)$  的关系如图 5.2.1 所示。

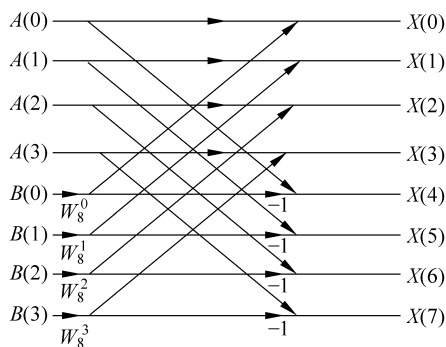


图 5.2.1  $N = 8$  时  $A(k)$ 、 $B(k)$  及  $X(k)$  之间的关系

$A(k)$ 、 $B(k)$  仍是高复合数 ( $N/2$ ) 的 DFT, 可按上述方法继续给以分解。分别令  $r = 2l$ ,  $r = 2l + 1$ , 而  $l = 0, 1, \dots, N/4 - 1$ , 则  $A(k)$  和  $B(k)$  可表示为

$$\begin{aligned} A(k) &= \sum_{l=0}^{N/4-1} x(4l)W_{N/2}^{2lk} + \sum_{l=0}^{N/4-1} x(4l+2)W_{N/2}^{(2l+1)k} \\ &= \sum_{l=0}^{N/4-1} x(4l)W_{N/4}^{lk} + W_{N/2}^k \sum_{l=0}^{N/4-1} x(4l+2)W_{N/4}^{lk} \end{aligned}$$

令

$$C(k) = \sum_{l=0}^{N/4-1} x(4l)W_{N/4}^{lk}, \quad k = 0, 1, \dots, N/4 - 1 \quad (5.2.4a)$$

$$D(k) = \sum_{l=0}^{N/4-1} x(4l+2)W_{N/4}^{lk}, \quad k = 0, 1, \dots, N/4 - 1 \quad (5.2.4b)$$

那么

$$A(k) = C(k) + W_{N/2}^k D(k), \quad k = 0, 1, \dots, N/4 - 1 \quad (5.2.5a)$$

$$A\left(k + \frac{N}{4}\right) = C(k) - W_{N/2}^k D(k), \quad k = 0, 1, \dots, N/4 - 1 \quad (5.2.5b)$$

同理, 令

$$E(k) = \sum_{l=0}^{N/4-1} x(4l+1)W_{N/4}^{lk}, \quad k = 0, 1, \dots, N/4 - 1 \quad (5.2.6a)$$

$$F(k) = \sum_{l=0}^{N/4-1} x(4l+3)W_{N/4}^{lk}, \quad k=0,1,\dots,N/4-1 \quad (5.2.6b)$$

则

$$B(k) = E(k) + W_{N/2}^k F(k), \quad k=0,1,\dots,N/4-1 \quad (5.2.7a)$$

$$B\left(k + \frac{N}{4}\right) = E(k) - W_{N/2}^k F(k), \quad k=0,1,\dots,N/4-1 \quad (5.2.7b)$$

若  $N=8$ , 这时  $C(k)$ 、 $D(k)$ 、 $E(k)$ 、 $F(k)$  都是二点的 DFT, 无须再分, 即

$$C(0) = x(0) + x(4), \quad E(0) = x(1) + x(5)$$

$$C(1) = x(0) - x(4), \quad E(1) = x(1) - x(5)$$

$$D(0) = x(2) + x(6), \quad F(0) = x(3) + x(7)$$

$$D(1) = x(2) - x(6), \quad F(1) = x(3) - x(7)$$

若  $N=16, 32$  或 2 的更高的幂, 可按上述方法继续分下去, 直到两点的 DFT 为止。以上算法是将时间  $n$  按奇、偶分开, 故称时间抽取算法(decimation in time, DIT)。现将上述过程示于图 5.2.2, 其基本运算单元示于图 5.2.3。

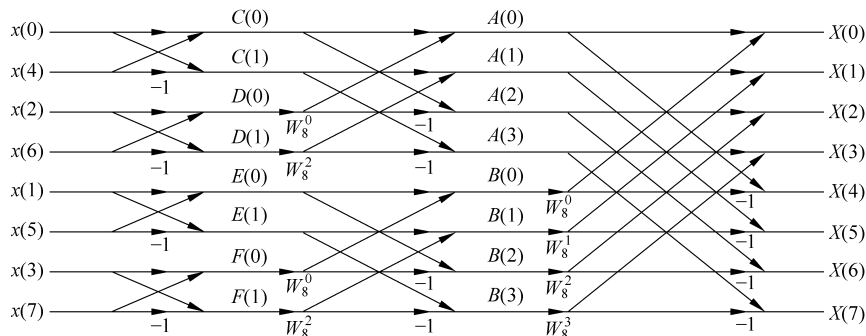


图 5.2.2 8 点 FFT 时间抽取算法信号流图

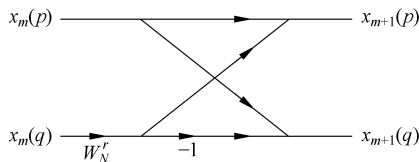


图 5.2.3 第  $m$  级蝶形单元

## 5.2.2 算法的讨论

现将 5.2.1 节所述的推导过程做一详细讨论, 以期找到 FFT 算法的一般规律。

### 1. “级”的概念

上述推导过程,将  $N$  点 DFT 先分成两个  $N/2$  点 DFT,再是 4 个  $N/4$  点 DFT,进而 8 个  $N/8$  点 DFT,直至  $N/2$  个两点 DFT。每分一次,称为一“级”运算。因为  $M = \log_2 N$ ,所以  $N$  点 DFT 可分成  $M$  级,如图 5.2.4 所示。图中  $N = 8$ ,因此  $M = 3$ ,从左至右,依次为  $m = 0$  级, $m = 1$  级, $m = 2$  级。

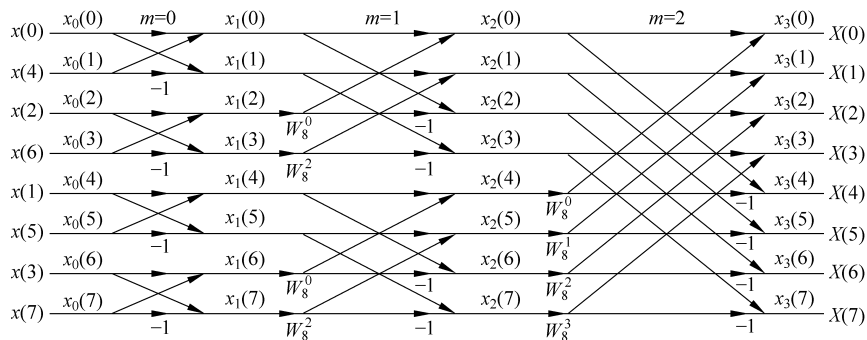


图 5.2.4 8 点 FFT 时间抽取算法信号流图

### 2. 蝶形单元

在图 5.2.2 中有大量如图 5.2.3 的运算结构,由于该运算结构的几何形状像蝴蝶,故称“蝶形运算单元”,在第  $m$  级,有

$$\left. \begin{aligned} x_{m+1}(p) &= x_m(p) + W_N^r x_m(q) \\ x_{m+1}(q) &= x_m(p) - W_N^r x_m(q) \end{aligned} \right\} \quad (5.2.8)$$

$p, q$  是参与本蝶形单元运算的上、下节点的序号。很明显,第  $m$  级序号为  $p, q$  的两点只参与这一个蝶形单元的运算,其输出在第  $m+1$  级,且这一蝶形单元也不再涉及别的点。由于这一特点,在计算机编程时,我们可将蝶形单元的输出仍放在输入数组中,故称为“同址运算”。

由于每一级都含有  $N/2$  个蝶形单元,每一个蝶形单元又只需要一次复数乘、两次复数加,因此,完成  $M = \log_2 N$  级共需要的复数乘法数  $M_c$  和复数加法数  $M_a$  分别是

$$M_c = \frac{N}{2} \log_2 N = MN/2 \quad (5.2.9a)$$

$$M_a = N \log_2 N = MN \quad (5.2.9b)$$

将图 5.2.2 改画成图 5.2.4,让每一级的数据自上而下都按自然顺序排列,那么在第  $m$  级,上、下节点  $p, q$  之间的距离为

$$q - p = 2^m \quad (5.2.10)$$

### 3. “组”的概念

由图 5.2.4 可以看出,每一级的  $N/2$  个蝶形单元可以分成若干组,每一组有着相同的结构及  $W^r$  因子分布。如  $m=0$  级分成了四组, $m=1$  级分成了两组, $m=M-1$  级分成了一组。因此,第  $m$  级的组数是  $N/2^{m+1}$ ,  $m=0,1,\dots,M-1$ 。

### 4. $W^r$ 因子的分布

再次考查式(5.2.1)~式(5.2.7)可以发现,第一次将  $N$  点 DFT 分成两个  $N/2$  点 DFT 时,相当于图 5.2.4 的最右边一级,这时出现的  $W^r$  因子是  $W_N^r$ ,而  $r=0,1,\dots,N/2-1$ 。再往下分时,依次是  $W_{N/2}^r, W_{N/4}^r, \dots$ ,故每一级  $W^r$  因子分布的规律如下:

$$\begin{aligned} m=0 \text{ 级}, W_2^r, & \quad r=0 \\ m=1 \text{ 级}, W_4^r, & \quad r=0,1 \\ m=2 \text{ 级}, W_8^r, & \quad r=0,1,2,3 \\ \vdots & \quad \vdots \\ m=M-1 \text{ 级}, W_N^r, & \quad r=0,1,\dots,N/2-1 \end{aligned}$$

因此,不难总结出  $W^r$  因子分布的一般规律:

$$\text{第 } m \text{ 级}, W_{2^{m+1}}^r, \quad r=0,1,\dots,2^m-1 \quad (5.2.11)$$

### 5. 码位倒置

由图 5.2.4 可以看出,变换后的输出序列  $X(k)$  依照正序排列,但输入序列  $x(n)$  的次序不再是原来的自然顺序,这正是由于将  $x(n)$  按奇、偶分开所产生的。对  $N=8$ ,其自然序号是  $0,1,2,3,4,5,6,7$ 。第一次按奇、偶分开,得到两组  $N/2$  点 DFT, $x(n)$  的序号是

$$0, 2, 4, 6 \quad | \quad 1, 3, 5, 7$$

对每一组再按奇、偶分开,这时应将每一组仍按自然顺序排列,故抽取后得 4 组,每组的序号是

$$0, 4 \quad | \quad 2, 6 \quad | \quad 1, 5 \quad | \quad 3, 7$$

这一顺序正是图 5.2.4 输入端序列  $x(n)$  的排列次序。掌握这一规律,对  $N$  为 2 的更高次幂,我们都可得到正确的抽取次序。

如果我们将  $x(n)$  的序号  $n=0,1,\dots,N-1$  写成二进制,如  $N=8$ ,那么  $x(0),\dots,x(7)$  对应为

$$x(000), x(001), x(010), x(011), x(100), x(101), x(110), x(111)$$

将二进制数码翻转,得

$$x(000), x(100), x(010), x(110), x(001), x(101), x(011), x(111)$$

它们对应的十进制序号分别是

$$x(0), x(4), x(2), x(6), x(1), x(5), x(3), x(7)$$

这也正是按奇、偶抽取所得到的顺序。掌握了这一规律,我们就可以正确编程,FFT 的软

件已是通用程序,读者只要了解排序的规律即可。

### 5.3 频率抽取(DIF)基2 FFT 算法

和DIT相对应,DIF算法是将频域 $X(k)$ 的序号 $k$ 按奇、偶分开。对式(5.1.1)的DFT,先将 $x(n)$ 按序号分成上、下两部分,得

$$\begin{aligned} X(k) &= \sum_{n=0}^{N/2-1} x(n)W_N^{nk} + \sum_{n=N/2}^{N-1} x(n)W_N^{nk} \\ &= \sum_{n=0}^{N/2-1} x(n)W_N^{nk} + \sum_{n=0}^{N/2-1} x(n+N/2)W_N^{nk}W_N^{Nk/2} \\ &= \sum_{n=0}^{N/2-1} [x(n) + W_N^{Nk/2}x(n+N/2)]W_N^{nk} \end{aligned}$$

式中, $W_N^{Nk/2} = (-1)^k$ ,分别令 $k=2r, k=2r+1$ ,而 $r=0,1,\dots,N/2-1$ ,于是得

$$X(2r) = \sum_{n=0}^{N/2-1} \left[ x(n) + x\left(n + \frac{N}{2}\right) \right] W_{N/2}^{nr} \quad (5.3.1a)$$

$$\begin{aligned} X(2r+1) &= \sum_{n=0}^{N/2-1} \left[ x(n) - x\left(n + \frac{N}{2}\right) \right] W_{N/2}^{nr} W_N^n \\ r &= 0, 1, \dots, \frac{N}{2} - 1 \end{aligned} \quad (5.3.1b)$$

令

$$g(n) = x(n) + x\left(n + \frac{N}{2}\right) \quad (5.3.2a)$$

$$h(n) = \left[ x(n) - x\left(n + \frac{N}{2}\right) \right] W_N^n \quad (5.3.2b)$$

则

$$X(2r) = \sum_{n=0}^{N/2-1} g(n)W_{N/2}^{nr} \quad (5.3.3a)$$

$$X(2r+1) = \sum_{n=0}^{N/2-1} h(n)W_{N/2}^{nr} \quad (5.3.3b)$$

这样,就将一个 $N$ 点DFT分成了两个 $N/2$ 点的DFT,分的办法是将 $X(k)$ 按序号 $k$ 的奇、偶分开。感兴趣的读者可以仿照时间抽取的办法继续分下去,直到得到两点的DFT。图5.3.1给出了一个16点DIF算法流程图,以备和其他的算法相比较。由该图可以看出,输入是正序,输出是按奇、偶分开的倒序。

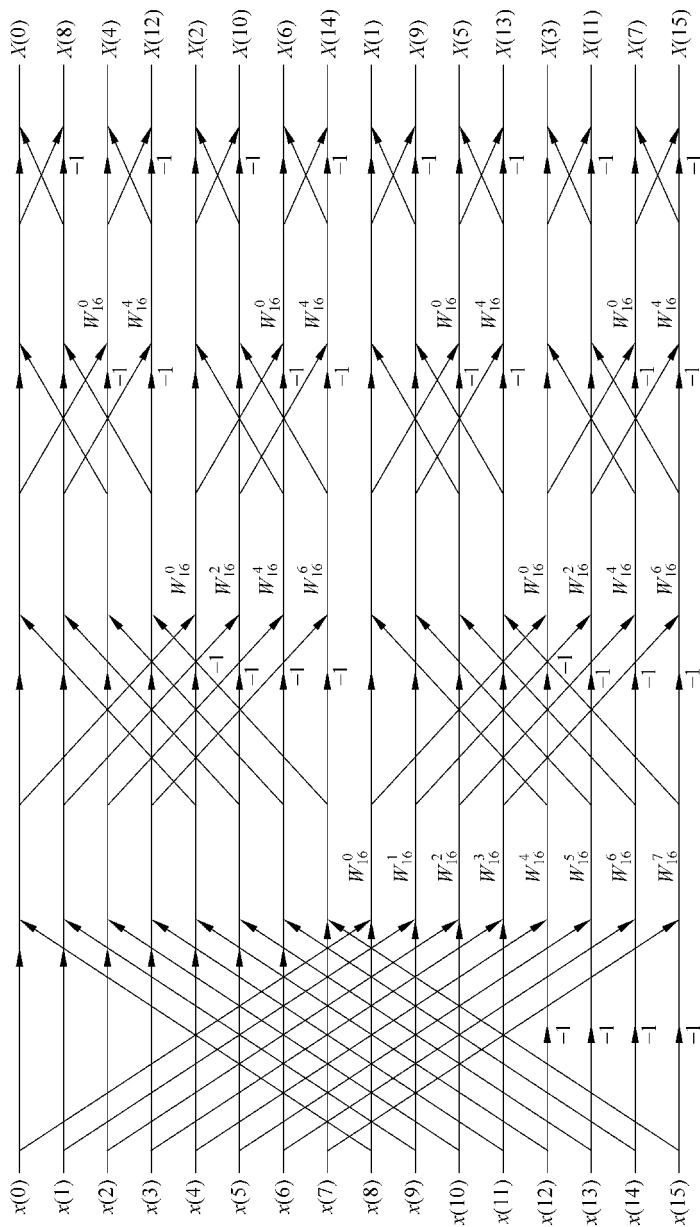


图 5.3.1 16 点 DIF 基 2 FFT 算法

不论是DIT算法还是DIF算法,都可以看作是将 $N \times N$ 的 $W$ 矩阵作分解来实现的。将此留作练习,由读者自行完成。

## 5.4 进一步减少运算量的措施

在讨论其他算法之前,我们先研究一下,是否可以采取一些措施进一步减少计算量。

### 5.4.1 多类蝶形单元运算

对 $N=2^M$ ,共需进行 $M$ 级运算,每级有 $N/2$ 个蝶形单元,而每个蝶形单元需要一次复数乘法,所以总共需要 $MN/2$ 次复数乘法。由式(5.2.11)可知,当 $m=0$ 时,即对第零级,所有的 $W$ 因子的指数全为零,所以 $W^r=1$ ,这一级不需要乘法。对 $m=1$ 级, $W^r=1$ 或 $W^r=-j$ 。我们知道,两个复数相乘时,若一个为纯虚数,则也不需要做乘法。在DFT中, $W^r$ 又称旋转因子(twiddle factor),像 $W^0$ 、 $W_{2}^1$ 、 $W_{4}^1$ 这样的旋转因子又称无关紧要的旋转因子(trivial twiddle factor)。去掉前两级后,所需的复数乘法次数应是

$$M_c = \frac{N}{2}(M-2) \quad (5.4.1)$$

进一步分析,在 $m=2$ 级,每一组含有 $W_{8}^0$ 、 $W_{8}^2$ 这两个无关紧要的旋转因子,这一级共有 $(N/2^{2+1})=N/8$ 组,故这一级无关紧要的旋转因子数为 $N/4$ 个。以此类推, $m=3$ 时有 $N/8$ 个,最后一级,即 $m=M-1$ 时,有 $N/2^{M-1}$ 个。这样,从 $m=2$ 至最后一级共有

$$\frac{N}{4} + \frac{N}{8} + \cdots + \frac{N}{N/2} = \frac{N}{2} - 2 \quad (5.4.2)$$

个无关紧要的旋转因子。这样,式(5.4.1)应改写为

$$M_c = \frac{N}{2}(M-3) + 2 \quad (5.4.3)$$

读者可自己验证,所需要的复数加法量是

$$A_c = \frac{3}{2}N(M-1) + 2 \quad (5.4.4)$$

前已述及,实现一次复数乘需要四次实数乘、两次实数加,但对 $W_{8}^1=(1-j)\sqrt{2}/2$ 这样特殊的复数,因为

$$(c+jc)(x+jy) = R + jI$$

其中